

УДК 628.36

О КРИВОЙ ВОССТАНОВЛЕНИЯ ДАВЛЕНИЯ
В СКВАЖИНЕ ТРЕЩИННО-ПОРИСТОГО КОЛЛЕКТОРА

В. Т. Боярчук, К. М. Донцов

(Грозный)

Показывается, что наклон начального участка кривой восстановления давления не может быть меньше половины асимптотического наклона при большом времени и даются пределы ошибок при определении характерного размера блока по известному времени запаздывания восстановления давления.

В работе Воррен и Руута [1] на основе дифференциальных уравнений фильтрации жидкости в трещинно-пористой среде

$$\frac{k_1}{\mu} \nabla^2 p_1 = \beta_1^* \frac{\partial p_1}{\partial t} + \beta_2^* \frac{\partial p_2}{\partial t}, \quad \beta_2^* \frac{\partial p_2}{\partial t} = \frac{\alpha}{\mu} (p_1 - p_2) \quad (0.1)$$

впервые предложенных Г. И. Баренблаттом и Ю. П. Желтовым [2], получена зависимость, описывающая восстановление давления в скважине в бесконечном пласте в виде

$$P_c = \frac{1}{2} \left\{ \ln \tau + 0.80908 + E_i \left[-\frac{\lambda \tau}{\omega(1-\omega)} \right] - E_i \left(-\frac{\lambda \tau}{1-\omega} \right) \right\} \quad (0.2)$$

Здесь

$$P_c = \frac{2\pi k_1 h}{q_0 \mu} (p_1 - p_{10}), \quad \tau = \frac{k_1 t}{\mu (\beta_1^* + \beta_2^*) r_c^2}, \quad \lambda = \frac{r_c^2}{\eta}, \quad \omega = \frac{\beta_1^*}{\beta_1^* + \beta_2^*}$$

k_1 — коэффициент проницаемости трещинной среды; μ — коэффициент динамической вязкости жидкости; ∇^2 — оператор Лапласа; β_1^* , β_2^* — коэффициенты упругоемкости трещинной среды и пористых блоков соответственно; p_1 , p_2 — давления на расстоянии r от оси скважины в трещинной среде и в блоках соответственно; α — безразмерный коэффициент, характеризующий трещинно-пористую среду; P_c — повышение давления в скважине, безразмерное; q_0 — установившийся дебит скважины до ее остановки; h — мощность пласта; p_{10} и p_{1c} — забойные давления до и после остановки скважины; t — время, отсчитываемое с момента остановки скважины; r_c — радиус скважины; τ — безразмерное время; η — характерный параметр трещинно-пористой среды; λ и ω — безразмерные параметры [1].

При $\omega \rightarrow 0$ из (0.2) следует:¹

$$P_c = \frac{1}{2} [\ln \tau + 0.80908 - E_i(-\lambda \tau)] \quad (0.3)$$

Зависимость (0.2) и ее предельный случай — зависимость (0.3) — изображены графически на фиг. 1 (кроме пунктирной линии); здесь $\lambda = 5 \cdot 10^{-6}$ (по данным [1]). Характерной особенностью графика зависимости (0.2) является наличие, начиная с некоторого значения $\omega \approx 0.002$,

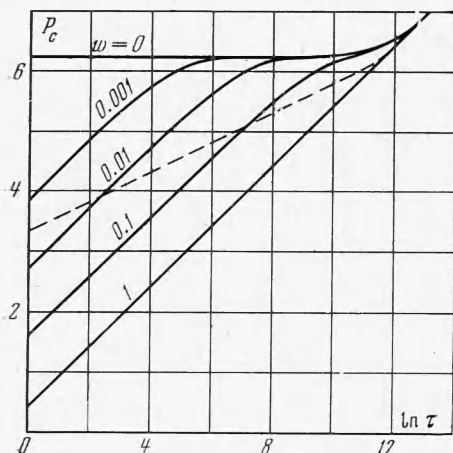
¹ К такой же зависимости позднее пришли Э. А. Авакян [3] и Р. И. Медведский [4].

горизонтального участка на переходной линии, соединяющей параллельные наклонные прямые. Длина этого участка увеличивается с уменьшением ω . Поэтому, например, Р. И. Медведским [4] на основе анализа теоретической зависимости (0.3) в более явной форме сделан вывод о времененной стабилизации начального участка практической кривой восстановления давления трещинно-пористого пласта. Однако очевидно, что такая форма начального участка обусловлена принятым видом функции перетока. При выводе исходных для (0.2) и (0.3) дифференциальных уравнений (0.1) предполагалось, что величина перетока жидкости пропорциональна разности давлений в двух средах: трещинной и пористой¹. Поэтому интересно оценить, в какой мере это допущение соответствует действительности применительно к восстановлению давления.

Очевидно, что функция перетока определяется геометрической формой блока и отношением поверхности блока к его объему. Известно [6], что

чем больше отношение поверхности тела к его объему, тем быстрее при прочих равных условиях происходит его охлаждение или нагревание. Надо полагать, что аналогичные явления, но относительно давления, будут осуществляться и для пористых тел, насыщенных жидкостью. По сравнению с телами других форм (при равенстве характерных линейных размеров) шар имеет наибольшее отношение поверхности к объему, а неограниченная пластина — наименьшее. Следовательно, пластины, в которых функции перетока соответствуют этим двум формам тел, будут иметь кривые восстановления давления с начальными участками, положения которых будут предельными для пластов с блоками любой формы.

Фиг. 1



В подтверждение сказанного рассмотрим две задачи о восстановлении давления в скважине. В первой задаче будем считать, что функция перетока соответствует неограниченным пористым пластинам, а во второй предполагается, что приток жидкости в блоки происходит так, как если бы они имели форму шара.

1. Рассмотрим первую задачу. В общем виде уравнение неуставновившейся осесимметричной фильтрации жидкости в трещинно-пористой среде

$$\frac{k_1}{\mu} \left(\frac{\partial^2 p_1}{\partial r^2} + \frac{1}{r} \frac{\partial p_1}{\partial r} \right) = \beta_1 * \frac{\partial p_1}{\partial t} + q$$

где q — величина перетока жидкости из трещин в блоки.

Подставляя величину перетока $q = \beta_2 * \partial p_2 / \partial t$, где p_2 — среднее давление в пластине по оси z на расстоянии от оси скважины, получим

$$\frac{k_1}{\mu} \left(\frac{\partial^2 p_1}{\partial r^2} + \frac{1}{r} \frac{\partial p_1}{\partial r} \right) - \beta_1 * \frac{\partial p_1}{\partial t} - \beta_2 * \frac{\partial p_2}{\partial t} = 0 \quad (1.1)$$

Ось z имеет начало в середине пластины и перпендикулярна к ее поверхности.

¹ На трудность оценки этого допущения указывалось в работе И. А. Волкова [5].

Считая, что скважина до остановки работала на стационарном режиме с дебитом q_0 , выразим давления p_1 и p_2° через

$$u_1(r, t) = p_1(r, t) - p_0(r), \quad u_2^\circ(r, t) = p_2^\circ(r, t) - p_0(r)$$

где $p_0(r)$ — стационарное распределение давления до остановки скважины. Тогда вместо (1.1) имеем

$$\frac{\partial^2 u_1}{\partial r^2} + \frac{1}{r} \frac{\partial u_1}{\partial r} - \frac{1}{\kappa} \left(\frac{\beta_1^*}{\beta_2^*} \frac{\partial u_1}{\partial t} + \frac{\partial u_2^\circ}{\partial t} \right), \quad \kappa = \frac{k_1}{\mu \beta_2^*} \quad (1.2)$$

Для восстановления давления в скважине при пренебрежении радиальной фильтрацией жидкости в пластинках начальные и граничные условия будут

$$\begin{aligned} u_1(r, t) \Big|_{r=0} &= 0, & u_2^\circ(r, t) \Big|_{t=0} &= 0 \\ u_1(r, t) \Big|_{r \rightarrow \infty} &= 0, & r \frac{\partial u_1(r, t)}{\partial r} \Big|_{r=r_c} &= -\frac{q_0 \mu}{2 \pi k_1 h} \end{aligned} \quad (1.3)$$

Применив преобразование Лапласа по переменной t к (1.2), (1.3), получим

$$U_1'' + \frac{1}{r} U_1' - \frac{s}{\kappa} \left(\frac{\beta_1^*}{\beta_2^*} U_1 + U_2^\circ \right) = 0 \quad (1.4)$$

$$U_1(r, s) \Big|_{r \rightarrow \infty} = 0, \quad r U_1'(r, s) \Big|_{r=r_c} = -\frac{1}{s} \frac{q_0 \mu}{2 \pi k_1 h} \quad (1.5)$$

Найдем U_2° . Для этого решим одномерное уравнение пьезопроводности для притока жидкости в неограниченную пористую среду (пластину). При этом будем считать, что направление скорости фильтрации жидкости в пластину перпендикулярно к ее поверхности.

Итак, имеем

$$\frac{\partial^2 u_2}{\partial z^2} - \frac{1}{\kappa_2} \frac{\partial u_2}{\partial t} = 0, \quad \kappa_2 = \frac{k_2}{\mu \beta_2^*} \quad (1.6)$$

при следующих начальном и граничном условиях:

$$\begin{aligned} u_2(z, r, t) \Big|_{t=0} &= 0 \\ u_2(z, r, t) \Big|_{z=R} &= u_1(r, t), \quad \frac{\partial u_2(z, r, t)}{\partial z} \Big|_{z=0} = 0 \end{aligned} \quad (1.7)$$

Здесь R — половина толщины пластины — характерный линейный размер; k_2 — коэффициент проницаемости пористой среды.

Применив преобразование Лапласа по переменной t к (1.6), (1.7), найдем [7]

$$U_2 = U_1 \operatorname{ch} \sqrt{\frac{s}{\kappa_2}} z / \operatorname{ch} \delta, \quad \delta = R \sqrt{\frac{s}{\kappa_2}}$$

Отсюда

$$U_2^\circ = \frac{1}{R} \int_0^R U_2 dz = U_1 \operatorname{th} \delta / \delta \quad (1.8)$$

Уравнение (1.4) с учетом (1.8) запишется

$$U_1'' + \frac{1}{r} U_1' - \frac{s}{\kappa} \left(\frac{\beta_1^*}{\beta_2^*} + \frac{\operatorname{th} \delta}{\delta} \right) U_1 = 0 \quad (1.9)$$

Очевидно, решением (1.9), удовлетворяющим граничным условиям (1.5), является

$$U_1 = \frac{q_0 \mu}{2\pi k_1 h} \frac{K_0(\sqrt{\xi(s)} r)}{s \sqrt{\xi(s) r_c K_1(\sqrt{\xi(s)} r_c)}}, \quad \xi(s) = \frac{s}{\kappa} \left(\beta_1^* + \frac{t \ln \delta}{\delta} \right) \quad (1.10)$$

Приближенно (для $\sqrt{\xi(s)} r c < 0.01$), заменяя модифицированные функции Бесселя второго рода нулевого и первого порядков их асимптотическими выражениями для малого аргумента, получим для скважины ($r = r_c$)

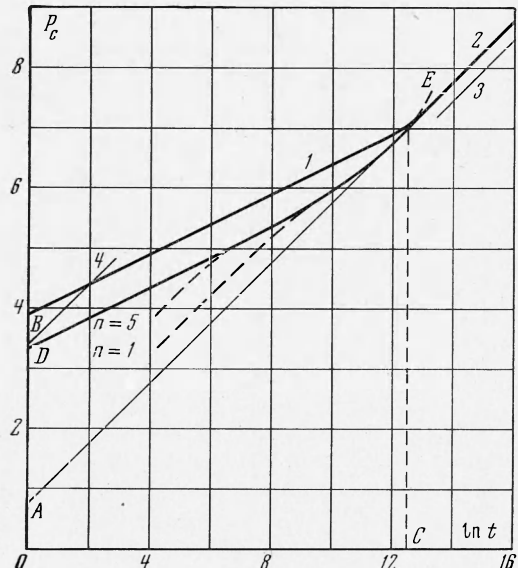
$$U_1(r_c, s) = \frac{q_0 \mu}{2\pi k_1 h} \frac{1}{s} \left(-\ln \frac{\gamma r_c}{2} \sqrt{\xi(s)} \right) \quad (\gamma = 1.781\dots)$$

Рассмотрим случай, когда величиной β_1^* можно пренебречь. Тогда после несложных преобразований

$$\begin{aligned} U_1(r_c, s) = & \frac{q_0 \mu}{2\pi k_1 h} \left\{ \frac{1}{s} \ln \frac{4\kappa R}{\gamma^2 \sqrt{\kappa_2 r_c^2}} - \frac{1}{2} \frac{\ln s}{s} + \right. \\ & \left. + 2 \sum_{n=1}^{\infty} \frac{1}{2n-1} \frac{\exp[-2(2n-1)\delta]}{s} \right\} \end{aligned}$$

Перейдя к оригиналу и введя давление P_c , получим

$$P_c = \frac{1}{2} \left[\ln \frac{4\kappa t}{\gamma r_c^2} - \ln \sqrt{\gamma F_0} + 2 \sum_{n=1}^{\infty} \frac{1}{2n-1} \operatorname{erfc} \frac{2n-1}{\sqrt{F_0}} \right] \quad (F_0 = \kappa_2 t / R^2) \quad (1.11)$$



Фиг. 2

Участок 2 описывается зависимостью

$$P_c = \frac{1}{2} \ln \frac{4\kappa t}{\gamma r_c^2} \quad (1.14)$$

так как, начиная с достаточно больших значений F_0 , сумма (1.13) уже не будет равна нулю и, как показывают расчеты, быстро стремится к $\ln \sqrt{\gamma F_0}$.

График зависимости (1.11) показан на фиг. 2 (сплошная линия). График этот построен по следующим исходным данным: $R = 1 \text{ м}$, $r_c = 0.1 \text{ м}$, $\kappa = 2 \cdot 10^{-2} \text{ м}^2/\text{сек}$, $\kappa_2 = 2 \cdot 10^{-6} \text{ м}^2/\text{сек}$.

На построенном графике резко выделяются два участка 1 и 2. Участок 1 описывается зависимостью

$$P_c = \frac{1}{2} \left(\ln \frac{4\kappa t}{\gamma r_c^2} - \ln \sqrt{\gamma F_0} \right) \quad (1.12)$$

так как при достаточно малых значениях F_0 сумма

$$2 \sum_{n=1}^{\infty} \frac{1}{2n-1} \operatorname{erfc} \frac{2n-1}{\sqrt{F_0}} \quad (1.13)$$

в силу свойств функции $\operatorname{erfc} \zeta$ для больших значений аргумента ζ стремится к нулю.

Как видно из (1.12) и (1.14), участок 1 имеет наклон, в два раза меньший наклона участка 2, и соответствует такой работе пласта, когда блоки (пластины) еще ведут себя как полуограниченные тела. Отрезки на оси ординат

$$OA = \frac{1}{2} \ln \frac{4\kappa}{\gamma r_c^2}, \quad AB = \frac{1}{4} \ln \frac{R}{V\kappa_2}$$

Абсцисса точки пересечения продолжений участков 1 и 2 равна $4AB$. Время запаздывания восстановления давления τ_3 , определенное по методу, предложенному в работе [4], приобретает для рассматриваемой модели пласта следующий смысл: $\tau_3 = R^2/\kappa_2$. С учетом этого равенства зависимость (1.11) на фиг. 1 изобразится пунктирной линией.

Заметим, что вместо (1.11) для P_c можно получить следующее выражение:

$$P_c = \frac{1}{2} \left\{ \ln \frac{4\kappa t}{\gamma r_c^2} + \sum_{n=1}^{\infty} E_i (-n^2 \pi^2 F_0) - \sum_{n=1}^{\infty} E_i \left[-\left(\frac{2n-1}{2} \right)^2 \pi^2 F_0 \right] \right\}$$

если $\operatorname{th} \delta$ представить в виде отношения бесконечных произведений [8].

Рассмотрим случай, когда $\beta_1^* \neq 0$.

Для малых значений комплекса δ , что соответствует большим F_0 , уравнение (1.9) запишется так:

$$U_1'' + \frac{1}{r} U' - \frac{s}{\kappa} \left(\frac{\beta_1^*}{\beta_2^*} + 1 \right) U_1 = 0$$

а его решение будет

$$P_c = \frac{1}{2} \ln \frac{4k_1 t}{\gamma \mu (\beta_1^* + \beta_2^*) r_c^2} \quad (1.15)$$

Графически оно изобразится прямой линией 3 (фиг. 2), проходящей несколько ниже линии 2 и совпадающей с ней при $\beta_1^* \rightarrow 0$.

Для больших значений δ , когда $\operatorname{th} \delta/\delta$ становится пренебрежимо малым по сравнению с β_1^*/β_2^* , из (1.9) получим

$$U_1'' + \frac{1}{r} U_1' - \frac{s}{\kappa_1} U_1 = 0, \quad \kappa_1 = \frac{k_1}{\mu \beta_1^*}$$

и решение будет

$$P_c = \frac{1}{2} \ln \frac{4\kappa_1 t}{\gamma 4_c^2} \quad (1.16)$$

На фиг. 2 оно изобразится линией 4. Расстояние по ординате между линиями 4 и 3 определяется разностью (1.16) и (1.15) $\Delta P_c = -\ln V\omega$, т. е. ω определяется тем же выражением, что и в работе [1]. Это говорит о том, что при $\beta_1^* \neq 0$ независимо от вида функции перетока на графике кривой восстановления давления должны наблюдаться две параллельные линии, смещенные одна относительно другой на $-\ln V\omega$.

2. Рассмотрим задачу о восстановлении давления в скважине, когда блоки имеют форму шара. Здесь также необходимо получить решение уравнения пьезопроводности

$$\frac{\partial^2 u_2}{\partial r^2} + \frac{2}{r} \frac{\partial u_2}{\partial r} - \frac{1}{\kappa} \frac{\partial u_2}{\partial t} = 0 \quad (2.1)$$

при следующих начальном и граничном условиях:

$$\begin{aligned} u_2(\rho, r, t)|_{t=0} &= 0 \\ u_2(\rho, r, t)|_{\rho=R} &= u_1(r, t), \quad \left. \frac{\partial u_2(\rho, r, t)}{\partial \rho} \right|_{\rho=0} = 0 \end{aligned} \quad (2.2)$$

где ρ — текущая координата, R — радиус шара — характерный линейный размер.

Проделав преобразования, получим

$$U_2^{\circ} = U_1 3 \left(\frac{\operatorname{cth} \delta}{\delta} - \frac{1}{\delta} \right) = U_1 \Phi(s)$$

Далее, аналогично предыдущему имеем

$$U_1(r_c, s) = \frac{q_0 \mu}{2 \pi k_1 h} \frac{1}{s} \left(-\ln \frac{\gamma r_c}{2} \sqrt{\frac{s}{\kappa}} \Phi(s) \right) \quad (2.3)$$

Преобразовывая (2.3), получим

$$\begin{aligned} U_1(r_c, s) = & \frac{q_0 \mu}{4 \pi k_1 h} \left[\frac{1}{s} \ln \frac{4 \kappa R}{3 \gamma^2 \sqrt{\kappa_2 r_c^2}} - \frac{1}{2} \frac{\ln s}{s} + \right. \\ & \left. + \frac{1}{s} \ln \operatorname{th} \delta - \frac{1}{s} \ln \left(1 - \frac{\operatorname{th} \delta}{\delta} \right) \right] \end{aligned} \quad (2.4)$$

Для больших значений δ можно принять $\operatorname{th} \delta \approx 1$. Тогда, разлагая последнее слагаемое в ряд, получим

$$U_1(r_c, s) = \frac{q_0 \mu}{4 \pi k_1 h} \left[\frac{1}{s} \ln \frac{4 \kappa R}{3 \gamma^2 \sqrt{\kappa_2 r_c^2}} - \frac{1}{2} \frac{\ln s}{s} + \frac{1}{s} \sum_{n=1}^{\infty} \frac{1}{n \delta^n} \right] \quad (2.5)$$

Перейдя в (2.5) к оригиналу, получим для малых F_0

$$\begin{aligned} P_c \approx & \frac{1}{2} \left[\ln \frac{4 \kappa t}{\gamma r_0^2} - \ln \sqrt{\gamma F_0} - \ln 3 + \frac{1}{V \pi} \sum_{n=1}^{\infty} \frac{2^n}{(2n-1)(2n-1)!!} \times \right. \\ & \left. \times F_0^{(2n-1)/2} + \frac{1}{2} \sum_{n=1}^{\infty} \frac{1}{n} F_0^n \right] \end{aligned}$$

или, ограничившись первыми слагаемыми рядов

$$P_c \approx \frac{1}{2} \left[\ln \frac{4 \kappa t}{\gamma r_c^2} - \ln \sqrt{\gamma F_0} - \ln 3 + \frac{2}{V \pi} \sqrt{F_0} + \frac{1}{2} F_0 + \frac{4}{9 V \pi} \sqrt{F_0^3} \right] \quad (2.6)$$

Из последнего выражения следует, что в рассматриваемом случае, наклон участка I больше наклона такого же участка для пласта с функцией перетока, соответствующей блокам в виде неограниченных пластин.

График зависимости (2.6), построенный по таким же исходным данным, что и в предыдущей задаче показан на фиг. 2 (линия DE).

Для малых значений δ получить оригинал (2.3) затруднительно. Поэтому представим $\Phi(s)$ в виде ряда [8]

$$\Phi(s) = \sum_{n=1}^{\infty} \frac{6}{\delta + n^2 \pi^2} \quad (2.7)$$

или

$$\Phi(s) = \sum_{n=1}^{\infty} \frac{6}{\delta + n^2 \pi^2} + 1 - \sum_{n=1}^{\infty} \frac{6}{n^2 \pi^2} \quad (2.8)$$

поскольку дальше¹ это выражение для $\Phi(s)$ будет использовано для небольших n . Последнее выражение можно получить из соотношения [9]

$$\frac{1}{s} \Phi(s) = 1 - \sum_{n=1}^{\infty} \frac{6}{n^2 \pi^2} \exp(-n^2 \pi^2 F_0)$$

используя правило операционного исчисления $f'(t) = sF(s) - f(0)$.

Таким образом, (2.3) запишется так:

$$U_1(r_c, s) = \frac{q_0 p}{2\pi k_1 h} \frac{1}{s} \left[-\ln \frac{\gamma r_c}{2} \sqrt{\frac{s}{\kappa} \left(\sum_{n=1}^{\infty} \frac{6}{\delta + n^2 \pi^2} + 1 - \sum_{n=1}^{\infty} \frac{6}{n^2 \pi^2} \right)} \right] \quad (2.9)$$

Ограничивааясь в (2.9) числом слагаемых в суммах: $n = 1, n = 2, n = 3, n = 4, n = 5$ и т. д., и находя последовательно оригиналы $U_1(r_c, s)$, можно построить кривую восстановления давления для малых значений δ (фиг. 2).

Так, при $n = 1$

$$P_c \approx \frac{1}{2} \left[\ln \frac{4\kappa t}{\gamma r_c^2} - E_i(-\pi^2 F_0) + E_i(-2.5506\pi^2 F_0) \right]$$

для $n = 5$

$$\begin{aligned} P_c \approx & \frac{1}{2} \left[\ln \frac{4\kappa t}{\gamma r_c^2} - E_i(-\pi^2 F_0) - E_i(-4\pi^2 F_0) - E_i(-9\pi^2 F_0) - \right. \\ & - E_i(-16\pi^2 F_0) - E_i(-25\pi^2 F_0) + E_i(-2.0492\pi^2 F_0) + \\ & + E_i(-6.0805\pi^2 F_0) + E_i(-12.2058\pi^2 F_0) + \\ & \left. + E_i(-20.6557\pi^2 F_0) + E_i(-41.5842\pi^2 F_0) \right] \end{aligned}$$

Расчеты показывают, что уже при $n = 1$ кривая, полученная таким способом, имеет общую часть с кривой, описываемой формулой (2.6). При увеличении n область совпадения этих кривых увеличивается (фиг. 2). Это значит, что кривую восстановления давления можно построить и для малых значений F_0 (больших δ), но при этом возникают большие трудности при расчетах.

Из графика восстановления давления (кривая DE на фиг. 2) видно, что в рассматриваемом случае начальный участок расположен ниже такого же участка для пласта с функцией перетока, соответствующей блокам — неограниченным пластинам. Объясняется это большей интенсивностью притока жидкости в блоки при функции перетока, соответствующей шаровой форме блока, что обусловливает поступление по трещинам к скважине меньшего количества жидкости.

Разность ординат начальных участков возрастает в направлении уменьшения времени остановки и стремится к $\ln 3$ при малых κ_2/R^2 . Иначе говоря, наклоны начальных участков для малых κ_2/R^2 , несмотря на различные функции перетока, практически одинаковы в начале восстановления давления и только затем, с ростом времени остановки, наклон участка, соответствующего шаровым блокам, начинает возрастать, что объясняется радиальностью фильтрации жидкости в шаровые блоки.

¹ При $n \rightarrow \infty$ $\left(1 - \sum_{n=1}^{\infty} \frac{6}{n^2 \pi^2} \right) \rightarrow 0$.

Если взять в качестве модели блока полуограниченное тело, то кривая восстановления давления в скважине будет иметь тот же наклон, что и начальный участок кривой восстановления давления для пласта с блоками в виде неограниченных пластин¹. Следовательно, переток жидкости в блоки — пластины вначале осуществляется так же, как в полуограниченные тела. Подобный переток наблюдается до тех пор, пока не начинает сказываться ограниченность пластины по толщине. Этому как раз и соответствует окончание начального участка I на графике восстановления давления (фиг. 2).

Из совмещенных графиков восстановления давления и из описывающих их формул следует, что при $\beta_1^* = 0$ наклоны начальных участков в начале восстановления давления для пластов с блоками любой формы достаточно больших размеров, причем не обязательно одинаковой формы и размеров, будут одни и те же, равные половине наклона асимптотического при большом t участка кривой восстановления давления, и будут соответствовать работе блоков как полуограниченных тел.

Следует обратить внимание на то, что наклон начального участка для пласта с функцией перетока, соответствующей шаровым блокам, на всем его протяжении больше наклона начального участка для пласта с функцией перетока, соответствующей блокам — неограниченным пластинал.

Для пласта с реальными блоками, поскольку они имеют различные размеры, эта особенность должна проявиться еще резче. Поэтому начальный участок (и переходный при $\beta_1^* \neq 0$) кривой восстановления давления не может быть горизонтальным, как это следует из [1], а лишь в пределе может достигнуть половины асимптотического, при больших t , наклона (пунктирная линия на фиг. 1). Кривая восстановления давления с горизонтальным участком не имеет физического смысла (жидкость притекает к скважине, а давление не восстанавливается).

Начальный участок для пласта с функцией перетока, соответствующей геометрически правильному телу другой формы, например кубу, будет лежать (при равенстве характерных линейных размеров) между начальными участками для пластины и шара.

3. В статье Г. И. Баренблатта, Ю. П. Желтова и Н. Н. Кошиной [10] показано, что между временем запаздывания перераспределения давления τ_3 и параметром $\alpha \sim k_2 \sigma^2$ существует следующая связь:

$$\tau_3 = \frac{\eta}{\kappa} = \frac{k_1}{\alpha \kappa} \sim \frac{1}{\sigma^2 \kappa_2}$$

Поскольку удельная поверхность трещин $\sigma^2 \sim 1/l^2$, то

$$\tau_3 \sim l^2 / \kappa_2 \quad (3.1)$$

Соотношение (3.1), полученное на основе теории размерностей, не позволяет определить характерный линейный размер по известному τ_3 . Более того, даже не существует оценок, указывающих на возможные границы размеров блоков, соответствующих конкретному значению τ_3 . Между тем такие оценки можно установить, исходя из полученных выше результатов. Так, для пласта с функцией перетока, соответствующей блокам — неограниченным пластинал, соотношение (3.1) сразу же переходит в равенство

$$\tau_3 = R^2 / \kappa_2$$

Для пласта с функцией перетока, соответствующей шаровым блокам, такое же значение τ_3 , определенное согласно [4], равно $R^2 / 9 \kappa_2$ (т. е. одному и тому же значению τ_3 будет соответствовать либо половина толщины пластины, либо $1/3$ радиуса шара). В общем виде эту зависимость можно представить так:

$$\sqrt{\tau_3 \kappa_2} = Rv \quad (3.2)$$

¹ Что это действительно так, легко показать, пользуясь тем же способом сочетания уравнений в операционном виде.

где Rv — обобщенный размер тела, который для неограниченной пластины равен R , для бесконечного цилиндра — $\frac{1}{2} R$ и для шара — $\frac{1}{3} R$ [6].

Таким образом, по значению τ_3 можно найти лишь обобщенный размер блока.

Пользуясь представлением об обобщенном размере блока, оценим величину возможной ошибки при определении характерного линейного размера блока по известному τ_3 .

Допустим, что функция перетока соответствует шаровым блокам, а при определении характерного линейного размера блоков считали функцию перетока соответствующей блокам — неограниченным пластинам. Тогда, очевидно, найденное значение l будет меньше действительного в 3 раза. И наоборот, если принять за исходную функцию перетока, соответствующую блокам — неограниченным пластинам, то найденное значение l будет больше действительного в 3 раза. Иначе говоря, максимальные ошибки при определении характерного линейного размера блоков по времени запаздывания восстановления давления могут лежать лишь в указанных пределах. В действительности, при определении характерного линейного размера блоков реального пласта, приведенного, например, к пласту с блоками — неограниченными пластинами, ошибка будет меньше.

Оценим теперь возможное время появления на кривой восстановления давления характерного участка, необходимого для определения τ_3 . Используем для этого данные по нижнемеловой залежи Карабулак — Ачалуки. Значение проницаемости породы блоков для этой залежи колеблется от $0.1 \cdot 10^{-12}$ до $0.001 \cdot 10^{-12} \text{ м}^2$, пористость породы блоков в среднем составляет 13%, вязкость нефти $0.26 \cdot 10^{-3} \text{ нсек/м}^2$, значение коэффициента сжимаемости жидкости $25.2 \cdot 10^{-2} \text{ м}^2/\text{н}$. Пьезопроводность блоков, приближенно подсчитанная по этим данным, равна $x_2 = 1.2 \div 1.2 \cdot 10^{-2} \text{ м}^2/\text{сек}$.

Положим, что пласт сложен неограниченными пористыми пластинами. Тогда при среднем значении размеров блоков, равном 0.3 м ($R = 0.15 \text{ м}$), время запаздывания восстановления давления $\tau_3 = 2 \div 2 \cdot 10^{-2} \text{ сек}$. Поэтому практически получить кривую восстановления давления с начальным участком невозможно.

Однако при среднем значении размеров блоков, равном 6 м ($R = 3 \text{ м}$), $\tau_3 = 7.5 \div 750 \text{ сек}$.

При таком условии уже можно получить кривую восстановления давления с начальным участком.

Следует отметить, что несколько другим способом аналогичный результат получен В. П. Степановым.

Авторы благодарят В. П. Степанова за обсуждение статьи и высказанные пожелания.

Поступила 29 IV 1971

ЛИТЕРАТУРА

1. W a r g e n J. E., R o o t P. J. The behavior of naturally fractured reservoirs. Soc. Petrol. Engrs. J., 1963, vol. 3, No. 3.
2. Б а р е н б л а т Г. И., Ж е л т о в Ю. П. Об основных уравнениях фильтрации однородных жидкостей в трещиноватых породах. Докл. АН СССР, 1960.
3. А в а к я н Э. А. Осесимметричные задачи неустановившейся фильтрации в трещиновато-пористых пластах. Тр. Всес. нефтегаз. научн.-исслед. ин-та, 1967, вып. 50.
4. М е д в е д с к и й Р. И. Об изменении давления в остановленной скважине пористо-трещиноватого коллектора. Научн.-техн. сб. по добыче нефти Всес. нефтегаз. научн.-исслед. ин-та, 1968, вып. 34.
5. В о л к о в И. А. К вопросу об упругом режиме фильтрации в трещиновато-пористой среде. В сб. «Исследования по математической и экспериментальной физике и механике», Л., Ленингр. инж.-строит. ин-т, 1965.
6. И с а ч е н к о В. П., О с и п о в а В. А., С у к о м е л А. С. Теплопередача. М., «Энергия», 1969, стр. 95.
7. Л ы к о в А. В. Теория теплопроводности. М., «Высшая школа», 1967, стр. 88—96, 113.
8. Ф и х т е н г о л ь ц Г. М. Курс дифференциального и интегрального исчисления, т. 2. М., Физматгиз, 1962, стр. 300, 476.
9. Д и т к и н В. А., П р у д н и к о в А. П. Справочник по операционному исчислению. М., «Высшая школа», 1965, стр. 26.
10. Б а р е н б л а т Г. И., Ж е л т о в Ю. П., К о ч и н а И. Н. Об основных представлениях теории фильтрации однородных жидкостей в трещиноватых породах. ПММ, 1960, т. 24, вып. 5.